

(169) スラグ融体の熱伝導度の測定

大阪大学工学部 萩野 和巳 ○ 五島 醍
大阪大学大学院(現いすゞ自動車(株)) 小本 赤鶴

1 緒言： 製鍊過程における熱伝達現象や反応の解析にあたり、しばしば、スラグ融体の熱伝導の値が必要となるが、その実測例は極めて少ない。融体の熱伝導度の測定は、物性測定のなかで難しい測定に属し、特に 1000°C 以上の温度域での測定は難しく、測定法も確立されていない。本研究においては、同心円筒型熱線法を用いてスラグ融体の熱伝導度を測定した。本方法は、測定原理が明確で、測定方法も簡単であるので、常温近傍の融体においては、精度の良い測定が行われているが、セルの材質と融体の電導性に制約されるため、電導度の良い高温の融体への適用は難しいとされている。

2 実験方法： 測定に用いたセルの概略を図1に示す。ドーナツ状断面を持つ筒型容器(Pt-20%Rh合金製、 0.3 mm 厚)の中心に、熱線(Pt-20%Rh製、 0.5 mm 中)が配置されている。熱線の通電により生ずる温度差(ΔT)は、セルの外壁と中心孔の内壁に圧着されているPR熱電対によって測定し、デジタルプロンタを用いて記録した。加熱はシリコニット炉で行ない、白金補助ヒータを設けて、セル全体が十分同一に加熱保持されるようにした。定常状態において、熱伝導度は、Fourier の式で与えられる。

$$\lambda = \frac{a \cdot q \ln(R_2/R_1)}{-2\pi \cdot \Delta T}$$

ここで、 a : セル定数、 q : 热線単位長さ、単位時間当たりの発热量、 R_1 : セルの内筒外径、 R_2 : セルの外筒内径

測定に際しては、 q の正確な評価と対流および輻射の影響などが問題となる。これらの点を検討するため、大セル($R_1 = 4.82\text{ mm}$, $R_2 = 19.83\text{ mm}$)および小セル($R_1 = 4.65\text{ mm}$, $R_2 = 11.93\text{ mm}$)の二種のセルを用いた。

3. 実験結果および考察： 信頼出来る報告値のある数種の融体について、測定を行なった結果を表1に示す。表中の測定値は、熱線への通電量から求める、セル定数を 1 として計算した値である。大セルでは、測定値が報告値より大きい値となるが、これは対流等による融体の運動の影響と考えられる。一方、小セルではほぼ良い一致が見られるので、理想的な状態で熱が伝達され、セル端面における熱損失の影響も小さいと考えられる。以上の検討をふまえて、小セルで得られたスラグ融体の熱伝導度を、表2に示す。

表1 濃縮塩および有機液体における測定結果

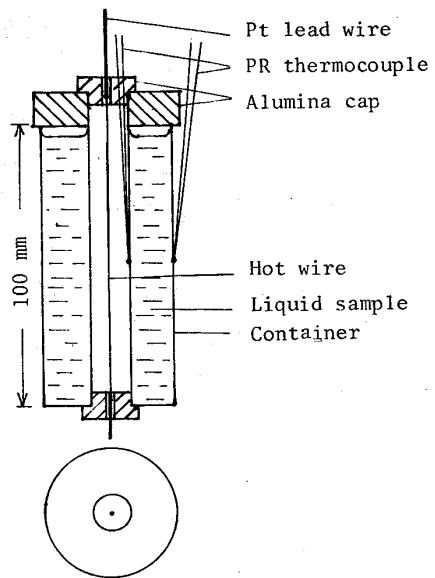


図1 測定用セル

表2 スラグ融体の熱伝導度

Sample	Thermal conductivity $\times 10^{-3}$ (cal/cm·sec.deg)				Reported Value	
	Large Cell		Small Cell			
	Temp. ($^{\circ}\text{C}$)	Experimental	Temp. ($^{\circ}\text{C}$)	Experimental		
Silicone oil (1000cs)	47	0.43	52	0.34	0.38	
Glycerin	44	0.72	58	0.67	0.695 0.700	
LiNO_3	323	1.3	297	1.2	1.49 1.45	
KNO_3	366	1.1	368	0.99	1.06 1.07	
KCl	793	2.2	795	1.6	1.60	
NaCl	826	3.9	831	2.5	2.37	

Slag (wt.%)	Thermal Conductivity (cal/cm·sec.deg)
$25\text{Na}_2\text{O} - 75\text{SiO}_2$ (854°C)	1.6×10^{-3}
$20\text{Al}_2\text{O}_3 - 40\text{CaO} - 40\text{SiO}_2$ (1358°C)	3.0×10^{-3}
100CaF_2 (1454°C)	7.3×10^{-3}